

8. SVMと特徴選択を用いた血液検査データによるC型肝炎の病態識別手法

黒柳 晴¹, 岩田 彰², 山内 一信¹
¹名古屋工業大学大学院工学研究科情報工学専攻,
²名古屋大学大学院医学系研究科医療管理情報学

1. 目的

現在、C型肝炎の病態を識別においては、医師が血液検査データから診断をしており、確定診断を得るには肝生検によって組織学的に診断する必要があるが、肝生検は検査にかかる手間や危険性の問題等となっている。そこで本研究では、パターン認識の中で最も優れた学習モデルの一つであるSVM(Support Vector Machine)と特徴選択の一つであるSFFS(Sequential Forward Floating Search)を用いて、血液検査のデータから簡便かつ高精度に肝炎の病態を識別する手法を提案する。

2. 方法

本研究における識別システムは、2つのステージにより構成される。第1のステージである「特徴選択」は、識別に用いた特徴(検査データ)を選択し、閾値のない特徴を省く。第2のステージの「識別器機」は、特徴選択により選択された特徴から属するクラスを決定する。本研究では特徴選択としてSFFSを用い、識別器機にSVMを用いた。

SVMはVapnik[1]によって提案された学習器種であり、2クラス分類法である。SVMは識別器機とサンプルの間の距離を最大化するように学習を行なうため、最も認識性能の優れた学習モデルの一つといわれている。本研究ではGaussカーネルを用いた超線形SVMを用いた。SVMのパラメータを求めるための学習方法としてはVijayakumar[2]による反復の学習法を用いた。

SFFS(Sequential Floating Forward Search)[3]はfloating型特徴選択アルゴリズムの代表的な手法であり、特徴選択の状態から特徴次元の増減を繰り返して最適な特徴セットを検索する。本研究では特徴選択の評価基準をSVMによる識別率とした。本研究ではLeave One Out法により、全てのサンプルがテストデータにないように繰り返すことで過誤率を求めた。

3. 結果

本研究で用いたデータは、名古屋大学医学部においてC型肝炎患者の血液検査データを収集したものである。それぞれのサンプルは、各患者はあらかじめ肝生検をうけたことで線維化の段階がわかっている。線維化はその度合によって、F0(正常)からF4(肝硬変)の5段階に分けることができる。本研究ではこの診断結果をもとにF0からF2をクラス1、F3からF4をクラス2とし、こ

れら2つのクラス分類を血液検査データから行なうこととする。実験に用いたサンプル数は217で、各サンプルに37種類の検査項目が含まれている。fl1クラスに属するものは149パターン、fl2クラスに属するものは88パターンである。また、本研究で用いたデータはそれぞれのクラスサイズがアンバランスであるため、全体の識別率(RR)はfl1クラスの識別率をRR1、fl2クラスの識別率をRR2とするときRR = $\frac{RR_1}{RR_1 + RR_2}$ により求めた。本実験におけるSVMの学習で用いたパラメータは、事前の予測実験の結果をもとにGaussianカーネルの $\sigma = 0.8$ 、ソフトマージン係数C=100とした。また、提案手法と比較するために識別器機として1-nearest neighbor(1-nn)を用いた場合についても実験を行なった。実験の結果、特徴選択を行わない場合、SVMの識別率が76%、1-nnの識別率が66%であった。また特徴選択を行なった場合、SVMの識別率が93%、1-nnの識別率が78%であった。

4.まとめ

本研究では、特徴選択による検査項目の選別に、パターン認識の中でも最も優れているといわれるSVMを組み合わせることで識別を判別する手法を提案した。SVMを単独で識別器機として用いたときは76%の識別率であったが、SFFSを組み合わせることにより、識別率が不要な特徴を削除され、93%の識別率を得ることができた。また、1-nnの結果との比較より、SVM、特徴選択のいずれもが識別率の向上に有効であることが明らかになった。

5. 謝辞

本研究で用いた血液検査データの取得・整理に関して、名古屋大学大学院医学系研究科医療情報科学の江川先生、ならびに名古屋市立保健衛生大腸直腸消化器内科・岡脇太郎先生に多大なる御協力をいただきました。ここに感謝いたします。

参考文献

- [1] Cortes C, and Vapnik V: Support-Vector Networks, Machine Learning, Vol.20, 273/297 (1996)
- [2] Vijayakumar S, and Si Wu: Sequential Support Vector Classifiers and Regression, Intl Conf. Soft Computing, 610/619 (1998)
- [3] Pudil P, Novovičová J, Kittler J: Floating Search Methods in Feature Selection, Pattern Recognition Letters, Vol.15, No.11, 1119/1125 (1994)

10. 磁気併用電気インピーダンス CT の画像化について

宮川直樹^{1*}, 竹前忠利¹, 小杉幸夫², 西澤茂³, 離宏波宏樹³
¹静岡大学工学部 ²東京工業大学総合理工 ³浜松医科大学脳外科

1.はじめに

生体内情報を画像化の手段として生体内の電気抵抗分布を利用した電気インピーダンスCTがある。この実現化として、磁気を併用した方法がある[1]。この方法で提案されている残差最小化法を用いたコンダクタンス分布算出において、より適切な初期値、計算回数について検討した。

2.方法

磁気を用いた方法では、印加磁界の強度分布で決まる F_{ij} 、体表面の電位差 V_{Ak} 、未知数 g_{ij} との関係は式(1)で示される。ここで、測定値には誤差が含まれ、直接式(1)は解けないため、残差最小化法を使用している。この方法において、下記の(a)、(b)について比較した。

$$\begin{bmatrix} F_{1,1} & F_{1,2} & \dots & F_{1,n-1} & 0 \\ F_{2,1} & F_{2,2} & \dots & F_{2,n-1} & 0 \\ \vdots & \vdots & \ddots & \vdots & \vdots \\ F_{n-1,1} & F_{n-1,2} & \dots & F_{n-1,n-1} & 0 \\ 1 & 1 & \dots & 1 & 1 \end{bmatrix} \begin{bmatrix} g_{11} \\ g_{12} \\ \vdots \\ g_{n-1,n} \\ g_n \end{bmatrix} = \begin{bmatrix} F_{1,1}/V_{A1} \\ F_{2,1}/V_{A2} \\ \vdots \\ F_{n-1,1}/V_{An-1} \\ 1/V_{Ac} \end{bmatrix} \quad (1)$$

(a) 計算回数の決定方法

a-1) 固定値 (20000回)

a-2) 計算回数 i の時の誤差を E_i とし、

$$(E_{i+1} - E_i) / (E_{i+2} - E_i) \quad (2)$$

と定め、この値が前もって決めた値 α

より小さくなったら時に計算終了とする。

(b) 初期値の決定方法

b-1) 全ての方向で固定値を使用

無磁界の測定での平均値を使用

b-2) 1方向前の最終値を使用

3. モデル実験と結果

図1に示すモデルを用いて実験を行なった。

結果を図2に示す。計算回数Nを20000回に固定した時と比べて、 α を用いる事で計算回数が半分に減らされた。さらに、初期値として-1方向前の最終値を用いることで、ほぼ同様の画像を得るのに約6分の1の計算回数で済んでいた。

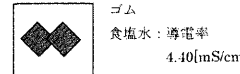


図1：測定に用いたモデル（正方形ゴム 2つ）

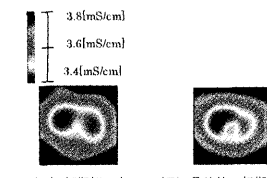


図2：各測定法の画像の比較

4.まとめ

磁気を併用した電気インピーダンス CT における計算回数と初期値の決め方について検討した結果、より計算回数を減らせる方法が得られた。

参考文献

- [1] 来一他、「磁気併用四電極法の電気インピーダンス CTへの応用」H. 11 年度日本ME学会東海支部学術集会, p.50

9. Web技術の画像配信への応用

名古屋大学大学院医学系研究科
 村井誠、津坂昌利

【目的】

病院のIT化が進み、フィルムレスでPACSの運用を始める病院が増加している。また、電子カルテの普及に伴い、参照画像としてWebを利用して院内画像配信に対するニーズも高まっている。これは、一般的パソコンでも利用できることから、ナースステーションなど院内各所で画像を閲覧できる。診察室では患者さんに臨床画像を提示しながらのインフォームドコンセントや、症例検討会や研究発表会にも活用されている。

今回、オープンソースを活用してWeb上で動作するDICOMサーバシステムを試作し性能を評価した。

【方法】

今回使用したDIOWAVEは佐藤太也氏の開発しているフリーソフトであり、オープンソースのため自由に入入手し利用することができる⁽¹⁾。サーバには、CPU:Intel Celeron 1GHz、メモリ:512 MB、OSはMicrosoft Windows Server 2003を使用した。DIOWAVEのインストール後、本学に設置されているFCR(Fuj Photo Film 社製 AC-3)をLAN経由で接続した(Fig1)。DICOMフォーマットからDICOMフォーマットへ変換するためのゲートウェイ(HIC-655)を用いた(Fig1)。HIC-655には、AE TitleをDIO_STORAGE、ポート番号を104と設定し、C-STOREでサーバへDICOMデータを転送できるようにした。クライアントにはCeleron700MHz、メモリ192MBのWindows2000PCを用いた。

【結果と考察】

DICOMゲートウェイよりDIOWAVEに対し、1760 × 1760 pixel, 10bitのCR画像(5MB)を転送したところ、40秒(1.18Mbps)を要した。他のPCを用いて同一の画像を転送し比較したところ、5秒(約10Mbps)で転送可能であったため、転送速度はDICOMゲートウェイの処理速度に制限されていることがわかった(Table1)。

次に、WebブラウザからDIOWAVEとともに配布されているツール(Studybrowser.NET)を起動し、転送した画像を閲覧することができた。

このとき、Study IDや撮影時間等から目的とする画像を検索したり、階調処理や拡大処理をしたりすることができる(Fig2)。

画像表示の際に表示されるまでに若干のタイムラグがあった。

CRでは、1画像につきおよそ0.24秒のタイムラグがあつたが、サーバ内部のログで解析することによってそのうちの83%程度が圧縮や階調処理などのサーバ内処理にかかっていることがわかった。

今回の実験は、オープンソース DIOWAVE を活用することによって、Web を利用した院内画像配信サーバの運用が可能であり、クライアントPCからWebブラウザを用いて画像を閲覧することができる。モダリティから画像サーバまでのDICOM画像転送については、CRからの画像転送の実験では、DICOMゲートウェイにおける画像フォーマットの変換処理を経たがかった。今後、CTやMRIなどのモダリティ画像を転送して、さらに総合的な性能を評価し、臨床現場での活用について考えてみたい。

(*) <http://diowave-vs.sourceforge.net/>

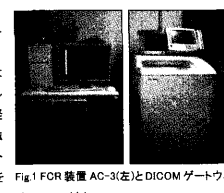


Fig1 DICOMゲートウェイAC-3(左)とDICOMゲートウェイHIC-655(右)



Fig2 DIOWAVEの実行画面

転送方法	所要時間(sec)	転送速度(kbps)
HIC-655	40sec	1.18Mbps
PC	<5sec	>9.44Mbps

Table1 モダリティからの転送時間 (1760 × 1760 pixel 10bit, 5.9Mbyte)

11. 磁気標識付きMR画像からの心臓領域とタグの自動抽出

竹内正樹^{1*}、大山航¹、若林哲史¹、木村文隆¹、鶴岡信治¹、栗原清次²

1) 三重大学 工学部
 2) 南勢町立病院

1. 目的

磁気標識付きMR画像は生体組織に磁気標識(タグ)を付加する。タグは組織の運動、変形に追随するので、組織の動態解析の指標として利用できる⁽¹⁾。タグの目視抽出は作業者の上腕に依存し、客觀性、再現性が十分ではない。タグの抽出を自動的に行なう手法がいくつか提案されているが、画像中の心臓領域の抽出を含めた完全自動抽出の例は少ない。本研究では心臓領域の自動抽出とタグの自動抽出を実現する手法を開発を目的とする。

2. 抽出手法

MR画像から心臓領域を抽出するための手法では、フレーム間差分による運動領域抽出⁽²⁾を応用する。ただし、画像中のタグの時間経過(フレーム進行)に伴って徐々に消失していくので、心臓の運動とタグの消失による画像変化を独立して抽出するが必要がある。心臓領域の自動抽出はメディアフィルターによる雜音除去、差分処理と連結成分のラベル付け処理、抽出領域の決定の流れで行なう。

心臓領域のタグ自動抽出は、ActiveNet⁽³⁾を用いて行なう。ActiveNetは動的なモードで内部歪みエネルギーと画像の適合性エネルギーによって変形する。内部の歪みエネルギーは組織内の収縮率や平行移位に基づいて存在し、画像の適合性のエネルギーは画像の伸長を反映する。内部の歪みエネルギーを磁気標識MR画像における心臓の収縮と磁気標識間の平行性に、画像の適合性のエネルギーを収縮レベルにそれぞれ対応させタグ自動抽出を行う。

3. 結果

図1に心臓領域自動抽出結果を示す。入力として3フレームの磁気標識付きMR画像を入りし、画像中の心臓の位置と大きさを自動抽出した。図1中の長方形が抽出された心臓領域を示す。提案手法により心臓領域が正確に抽出された。

次に図1 (a) で抽出された心臓領域にActiveNetを適用した。心臓領域として抽出された長方形の中央に、長方形の短辺を対角線とした正方形の領域を設定する。この正方形領域内に初期ActiveNetを配置した。抽出結果の例として図2. (a), (b)にそれぞれ第1フレーム(拡張末期)と収縮途中におけるタグ抽出結果を示す。第1フレームでは正確にタグが抽出できている。第4フレームでは図中矢印で示し



(a) 結果1 (b) 結果2
図1. 心臓領域自動抽出結果



(a) 第1フレーム (b) 第4フレーム
図2. タグ自動抽出結果

た部分におけるタグ抽出が一部正確でない。この部分でタグ抽出の精度が低下した理由として矢印部分において1フレーム間の磁気標識の変化が大きいため、誤ってタグを抽出したことがあげられる。

4. 結語

本研究では磁気標識付きMR画像から心臓領域とタグを自動抽出する手法を提案した。フレーム間差分による運動領域抽出を応用することで、画像中の心臓領域の自動抽出を実現した。しかしタグの自動抽出は実現できとはいっても精度化が必要である。今後の課題として以下があげられる。

- (1) 心臓領域の形状の変化による抽出
- (2) タグ抽出の精度化
- (3) 心筋活動解析への応用

参考文献

- 1) 稲葉忠司、紀ノ定保佐、使用正考: タグイン法による左心室筋の収縮性評価、医用電子と生体工学 第36巻 第1号、1999年3月、pp7-14
- 2) 宗本孝義、鶴岡信治、石山宗秋、木村文隆、若林哲史、栗原清次: 磁気標識付きMR画像からの心臓筋域抽出法、平成9年度電気情報学会東海支那支部大会講演論文集、759.
- 3) 坂上勝彦、山本和多: 動的なモデル ActiveNet とその標識抽出への応用、テレビジョン学会誌 Vol.45, No.10, pp1155~1163 (1991)